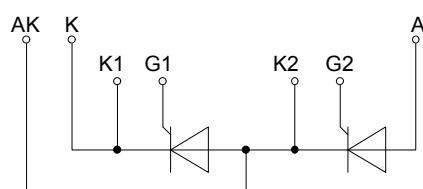
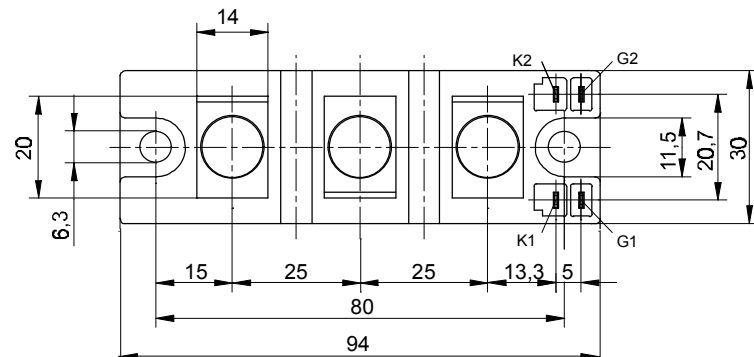
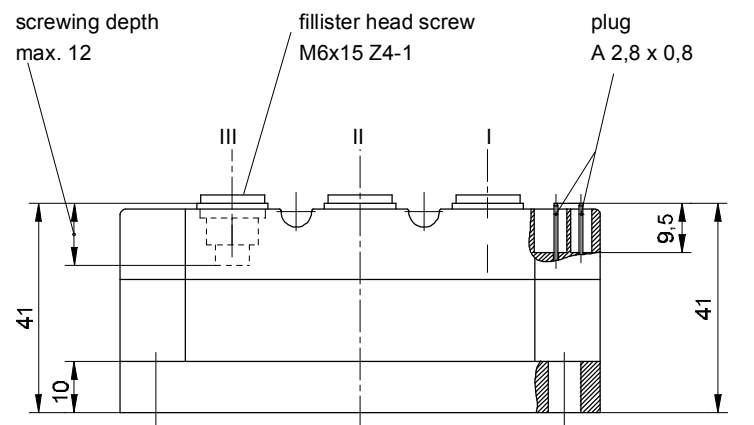




European Power-
Semiconductor and
Electronics Company

Marketing Information TT 81 F



TT 81 F, TD 81 F, DT 81 F

Elektrische Eigenschaften		Electrical properties				
Höchstzulässige Werte	Maximum rated values					
Periodische Vorwärts- und Rückwärts-Spitzenspannung	repetitive peak forward off-state and $t_{vj} = -40^{\circ}\text{C} \dots t_{vj\ max}$ reverse voltages			V_{DRM}, V_{RRM}	200 400 600 800	V
Vorwärts-Stoßspitzenperrspannung	non-repetitive peak forward off-state $t_{vj} = -40^{\circ}\text{C} \dots t_{vj\ max}$ voltages			$V_{DSM} = V_{DRM}$		
Rückwärts-Stoßspitzenperrspannung	non-repetitive peak reverse voltage	$t_{vj} = +25^{\circ}\text{C} \dots t_{vj\ max}$		$V_{RSM} = V_{RRM}$	+ 100	V
Durchlaßstrom-Grenzeffektivwert	RMS on-state current			I_{TRMSM}	180	A
Dauergrenzstrom	average on-state current	$t_c = 85^{\circ}\text{C}$ $t_c = 62^{\circ}\text{C}$		I_{TAVM}	81	A
Stoßstrom-Grenzwert	surge current	$t_{vj} = 25^{\circ}\text{C}, t_p = 10\ \text{ms}$ $t_{vj} = t_{vj\ max}, t_p = 10\ \text{ms}$		I_{TSM}	115	A
Grenzlastintegral	$\int i^2 dt$ -value	$t_{vj} = 25^{\circ}\text{C}, t_p = 10\ \text{ms}$ $t_{vj} = t_{vj\ max}, t_p = 10\ \text{ms}$		$\int i^2 dt$	2500 2200	A
Kritische Stromsteilheit	critical rate of rise of on-state current	$V_D \leq 67\%, V_{DRM}, f_o = 50\ \text{Hz}$ $I_{GM} = 0,6\ A, di_G/dt = 0,6\ A/\mu\text{s}$		$(di/dt)_{cr}$	160	A/ μs
Kritische Spannungssteilheit	critical rate of rise of off-state voltage	$t_{vj} = t_{vj\ max}, V_D = 0,67\ V_{DRM}$ 6.Kennbuchstabe/6th letter B 6.Kennbuchstabe/6th letter C 6.Kennbuchstabe/6th letter L 6.Kennbuchstabe/6th letter M	$(dv/dt)_{cr}$		50 500 500 1000	1) 2) V/ μs V/ μs V/ μs V/ μs
Charakteristische Werte	Characteristic values					
Durchlaßspannung	on-state voltage	$t_{vj} = t_{vj\ max}, i_T = 350\ A$		V_T	max. 2,15	V
Schleusenspannung	threshold voltage	$t_{vj} = t_{vj\ max}$		$V_{T(TO)}$	1,25	V
Ersatzwiderstand	slope resistance	$t_{vj} = t_{vj\ max}$		r_T	2	$\text{m}\Omega$
Zündstrom	gate trigger current	$t_{vi} = 25^{\circ}\text{C}, V_D = 6\ V$		I_{GT}	max. 150	mA
Zündspannung	gate trigger voltage	$t_{vi} = 25^{\circ}\text{C}, V_D = 6\ V$		V_{GT}	max. 2	V
Nicht zündender Steuerstrom	gate non-trigger current	$t_{vi} = t_{vi\ max}, V_D = 6\ V$		I_{GD}	max. 10	mA
Nicht zündende Steuerspannung	gate non-trigger voltage	$t_{vi} = t_{vi\ max}, V_D = 0,5\ V_{DRM}$		V_{GD}	max. 0,2	V
Haltestrom	holding current	$t_{vi} = 25^{\circ}\text{C}, V_D = 6\ V, R_A = 10\ \Omega$		I_H	max. 250	mA
Einraststrom	latching current	$t_{vi} = 25^{\circ}\text{C}, V_D = 6\ V, R_{GK} >= 20\ \Omega$ $i_{GM} = 0,6\ A, di_G/dt = 0,6\ A/\mu\text{s}, t_q = 10\ \mu\text{s}$		I_L	max. 1	A
Vorwärts- und Rückwärts-Sperrstrom	forward off-state and reverse currents	$t_{vj} = t_{vj\ max}, V_D = V_{DRM}, V_R = V_{RRM}$		i_D, i_R	max. 30	mA
Zündverzug	gate controlled delay time	$t_{vi} = 25^{\circ}\text{C}, I_{GM} = 0,6\ A, di_G/dt = 0,6\ A/\mu\text{s}$		t_{ad}	max. 1,4	μs
Freiwerdezeit	circuit commutated turn-off time	siehe Techn.n.Erl./see Techn. Inf.		t_a	C: max. 12 D: max. 15 E: max. 20	μs μs μs
Isolations-Prüfspannung	insulation test voltage	RMS, $f = 50\ \text{Hz}, 1\ \text{min.}$		V_{ISOL}	3	kV
Thermische Eigenschaften	Thermal properties					
Innerer Wärmewiderstand	thermal resistance, junction to case	$\Theta = 180^{\circ}\text{ el.sinus: pro Modul/per module}$ DC: pro Zweig/per arm pro Modul/per module pro Zweig/per arm		R_{thJC}	max. 0,15 max. 0,03 max. 0,142 max. 0,284	$^{\circ}\text{C/W}$ $^{\circ}\text{C/W}$ $^{\circ}\text{C/W}$ $^{\circ}\text{C/W}$
Übergangs-Wärmewiderstand	thermal resistance, case to heatsink	pro Modul/per module pro Zweig/per arm		R_{thCK}	max. 0,03 max. 0,06	$^{\circ}\text{C/W}$ $^{\circ}\text{C/W}$
Höchstzul. Sperrsichttemperatur	max. junction temperature			$t_{vj\ max}$	125	$^{\circ}\text{C}$
Betriebstemperatur	operating temperature			$t_{c\ op}$	-40...+125	$^{\circ}\text{C}$
Lagertemperatur	storage temperature			t_{stg}	-40...+130	$^{\circ}\text{C}$
Mechanische Eigenschaften	Mechanical properties					
Si-Elemente mit Druckkontakt	Si-pellet with pressure contact					
Innere Isolation	internal insulation					
Anzugsdrehmomente für mechanische Befestigung	mounting torque	Toleranz/tolerance $\pm 15\%$		M1	6	AIN Nm
Anzugsdrehmoment für elektrische Anschlüsse	terminal connection torque	Toleranz/tolerance $+5\%/-10\%$		M2	6	Nm
Gewicht	weight			G	typ. 430	g
Kriechstrecke	creepage distance				14	mm
Schwingfestigkeit	vibration resistance	$f = 50\ \text{Hz}$			5 . 9,81	m/s^2
Maßbild	outline				1	

¹⁾ Werte nach DIN 41787 (ohne vorausgehende Kommutierung) / Values according to DIN 41787 (without prior commutation)

²⁾ Unmittelbar nach der Freiwerdezeit / Immediately after circuit commutated turn-off time

Daten der Dioden siehe unter DD 122 S bei $V_{RRM} \leq 800\ V$ und DD 121 S bei $V_{RRM} \leq 1000\ V$

For data of the diode refer to DD 122 S at $V_{RRM} \leq 800\ V$ and DD 121 S at $V_{RRM} \leq 1000\ V$

TT 81 F, TD 81 F, DT 81 F können auch mit gemeinsamer Anode oder gemeinsamer Kathode geliefert werden.

TT 81 F, TD 81 F, DT 81 F can also be supplied with common or common cathode

Recognized by UNDERWRITERS LABORATORIES INC.

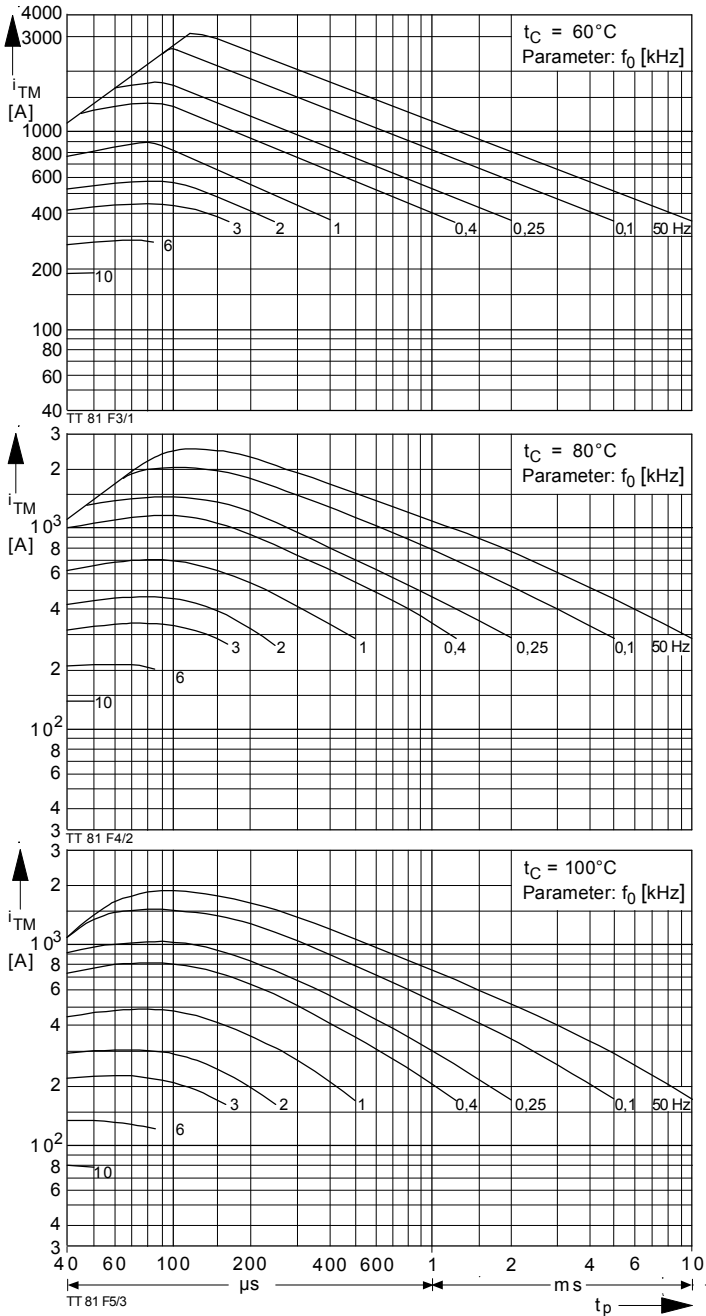


Bild / Fig. 1, 2, 3

Höchstzulässige Strombelastbarkeit in Abhängigkeit von der Halbschwingungsdauer für einen Zweig bei: sinusförmigem Stromverlauf, der angegebenen Gehäusetemperatur t_C ,

Vorwärts-Sperrspannung $V_{DM} \leq 0,67 V_{DRM}$;

Freiwerdezeit t_q gemäß 5. Kennbuchstaben, Spannungssteilheit dv_D/dt gemäß 6. Kennbuchstaben.

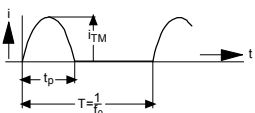
Ausschaltverlustleistung:

- Berücksichtigt für den Betrieb bei $f_0 = 50 \text{ Hz} \dots 0,4 \text{ kHz}$ für $dv_R/dt \leq 500 \text{ V}/\mu\text{s}$ und Anstieg auf $v_{RM} \leq 0,67 V_{RRM}$;
- nicht Berücksichtigt für Betrieb bei $f_0 \geq 1 \text{ kHz}$. Diese Kurven gelten jedoch für den Betrieb mit antiparalleler Diode oder $dv_R/dt \leq 100 \text{ V}/\mu\text{s}$ und Anstieg auf $V_{RM} \leq 50 \text{ V}$.

Maximum allowable current load versus halfwave duration per arm at: sinusoidal current waveform, given case temperature t_C , forward off-state voltage $v_{DM} \leq 0,67 V_{DRM}$, circuit commutated turn-off time t_q according to 5th code letter, rate of rise of voltage dv_D/dt according to 6th code letter.

Turn-of losses:

- taken into account for operation at $f_0 = 50 \text{ Hz}$ to 0.4 kHz for $dv_R/dt \leq 500 \text{ V}/\mu\text{s}$ and rise up to $V_{RM} \leq 0,67 V_{RRM}$;
- not taken into account for operation at $f_0 \geq 1 \text{ kHz}$. But the curves are valid for operation with inverse paralleled diode or $dv_R/dt \leq 100 \text{ V}/\mu\text{s}$ and rise up to $V_{RM} \leq 50 \text{ V}$.



Parameter: Wiederholfrequenz f_0 [kHz] Steuergenerator/Pulse generator:
Repetition rate f_0 [kHz] $i_G = 0,6 \text{ A}$, $t_a = 1\mu\text{s}$

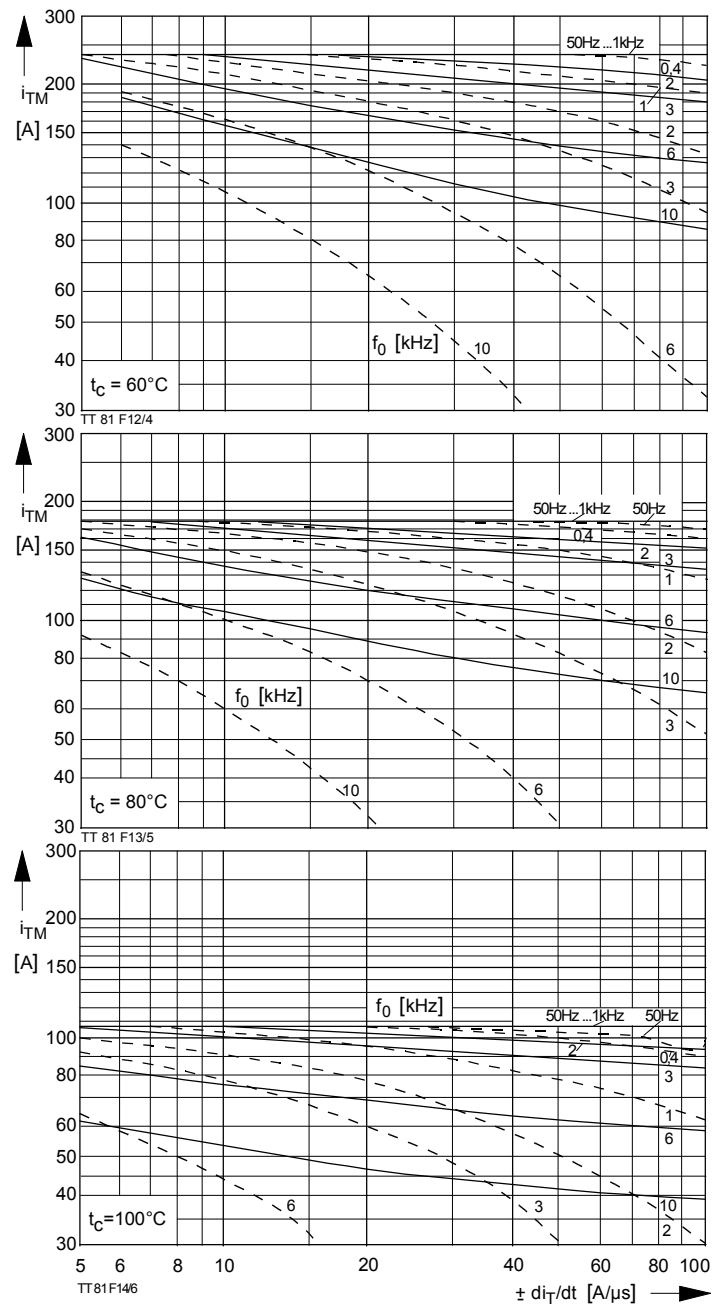


Bild / Fig. 4, 5, 6

Höchstzulässige Strombelastbarkeit in Abhängigkeit von der Stromsteilheit für einen Zweig bei: trapezförmigem Stromverlauf, der angegebenen Gehäusetemperatur t_C ,

Vorwärts-Sperrspannung $v_{DM} \leq 0,67 V_{DRM}$,

Freiwerdezeit t_q gemäß 5. Kennbuchstabe, Spannungssteilheit dv/dt gemäß 6. Kennbuchstabe.

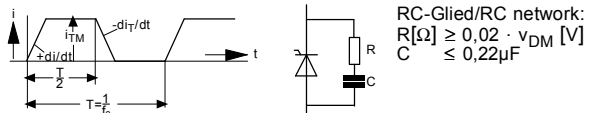
Ausschaltverlustleistung berücksichtigt; die Kurven gelten für:

- Betrieb mit antiparalleler Diode oder $dv_R/dt \leq 100 \text{ V}/\mu\text{s}$ bei Anstieg auf $v_{RM} \leq 50 \text{ V}$.
- - - - $dv_R/dt \leq 500 \text{ V}/\mu\text{s}$ und Anstieg auf $v_{RM} = 0,67 V_{RRM}$.

Maximum allowable current load versus rise of current per arm at: trapezoidal current waveform, given case temperature t_C , forward off-state voltage $v_{DM} \leq 0,67 V_{DRM}$, circuit commutated turn-off t_q according to 5th code letter, rate of rise of voltage dv/dt according to 6th code letter.

Turn-off losses taken into account; the curves apply for:

- Operation with inverse paralleled diod or $dv_R/dt \leq 100 \text{ V}/\mu\text{s}$ rising up to $V_{RM} \leq 50 \text{ V}$.
- - - - $dv_R/dt \leq 500 \text{ V}/\mu\text{s}$ rising up to $V_{RM} = 0,67 V_{RRM}$.



Parameter: Wiederholfrequenz f_0 [kHz] Steuergenerator/Pulse generator:
Repetition rate f_0 [kHz] $i_G = 0,6 \text{ A}$, $t_a = 1\mu\text{s}$

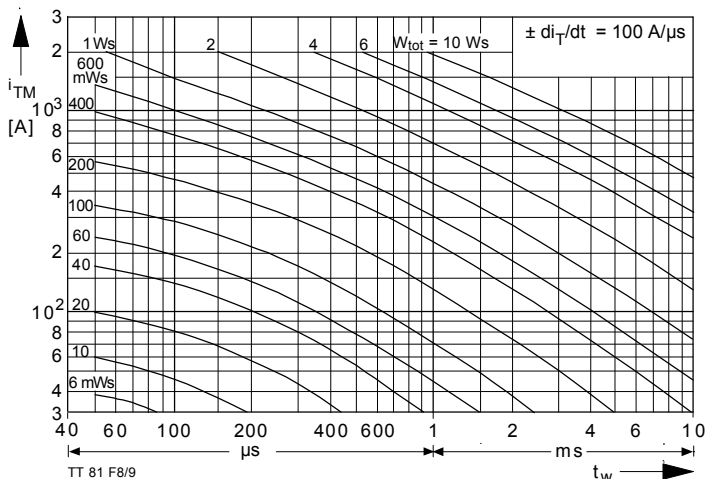
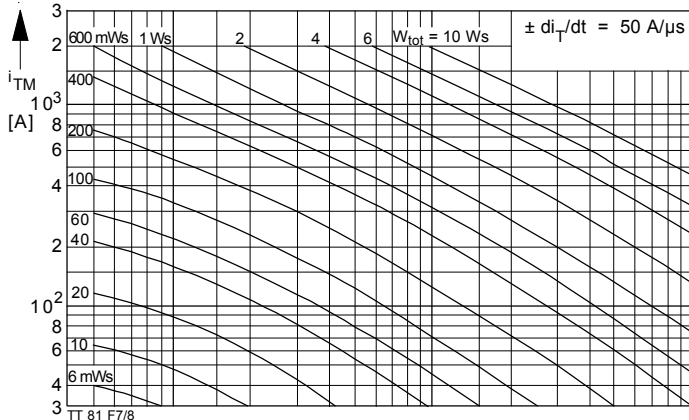
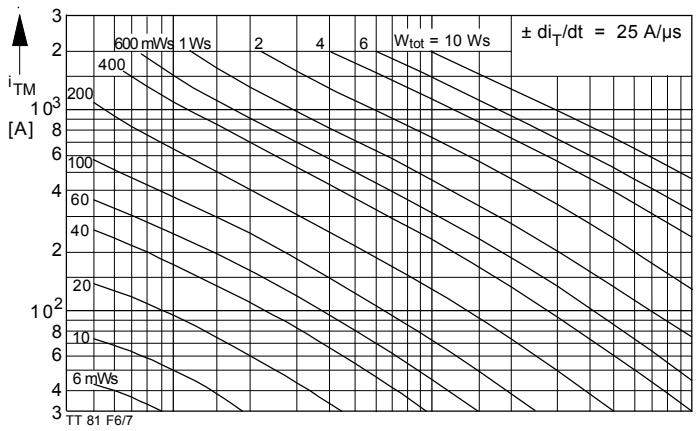
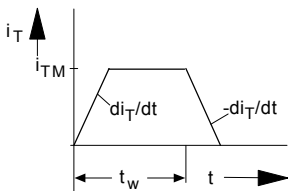


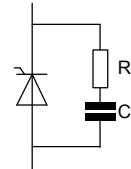
Bild / Fig. 7, 8, 9

Diagramme zur Ermittlung der Gesamtenergie W_{tot} für einen trapezförmigen Durchlaß-Strompuls, für einen Zweig bei:
der angegebenen Stromsteilheit di_T/dt ,
Vorwärts-Sperrspannung $v_{DM} \leq 0,67 V_{DRM}$,
Rückwärts-Sperrspannung $v_{RM} \leq 50 \text{ V}$,
Spannungssteilheit $dv_R/dt \leq 100 \text{ V}/\mu\text{s}$.

Diagram for the determination of the total energy W_{tot} for a trapezoidal current pulse for one arm at:
given rate of rise of on-state current di_T/dt ,
forward off-state voltage $v_{DM} \leq 0,67 V_{DRM}$,
maximum reverse voltage $v_{RM} \leq 50 \text{ V}$,
rate of rise of off-state voltage $dv_R/dt \leq 100 \text{ V}/\mu\text{s}$.



$$i_G = 0,6 \text{ A}, t_a = 1 \mu\text{s}$$



RC-Glied/RC network:
 $R[\Omega] \geq 0,02 \cdot v_{DM} [\text{V}]$
 $C \leq 0,22 \mu\text{F}$

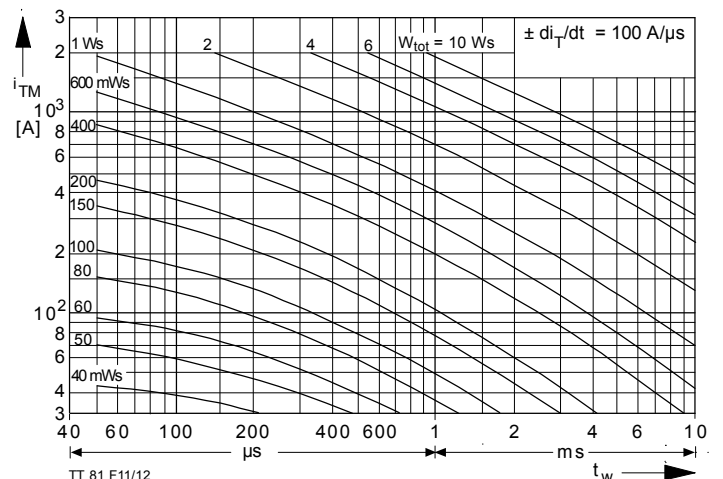
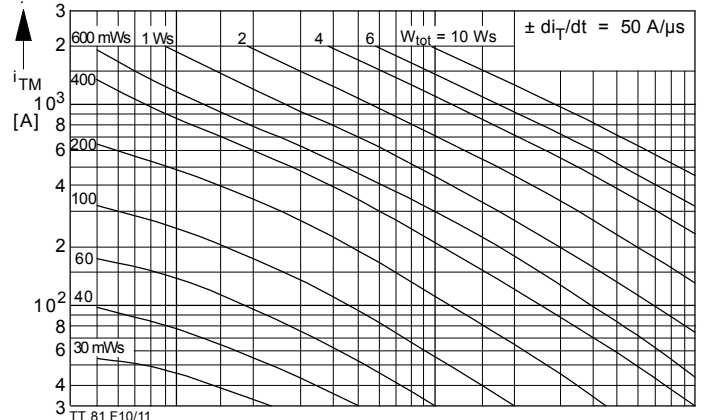
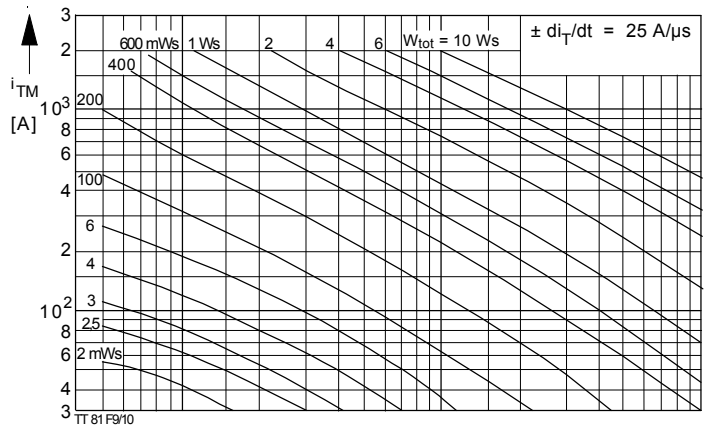
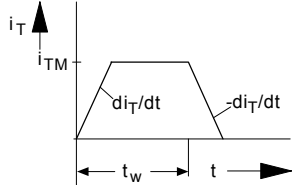


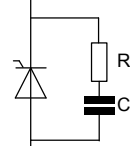
Bild / Fig. 10, 11, 12

Diagramme zur Ermittlung der Gesamtenergie W_{tot} für einen trapezförmigen Durchlaß-Strompuls, für einen Zweig bei:
der angegebenen Stromsteilheit di_T/dt ,
Vorwärts-Sperrspannung $v_{DM} \leq 0,67 V_{DRM}$,
Rückwärts-Sperrspannung $v_{RM} \leq 0,67 V_{RRM}$,
Spannungssteilheit $dv_R/dt \leq 500 \text{ V}/\mu\text{s}$.

Diagram for the determination of the total energy W_{tot} for a trapezoidal current pulse for one arm at:
given rate of rise of on-state current di_T/dt ,
forward off-state voltage $v_{DM} \leq 0,67 V_{DRM}$,
maximum reverse voltage $v_{RM} \leq 0,67 V_{RRM}$,
rate of rise of off-state voltage $dv_R/dt \leq 500 \text{ V}/\mu\text{s}$.



$$i_G = 0,6 \text{ A}, t_a = 1 \mu\text{s}$$



RC-Glied/RC network:
 $R[\Omega] \geq 0,02 \cdot v_{DM} [\text{V}]$
 $C \leq 0,22 \mu\text{F}$

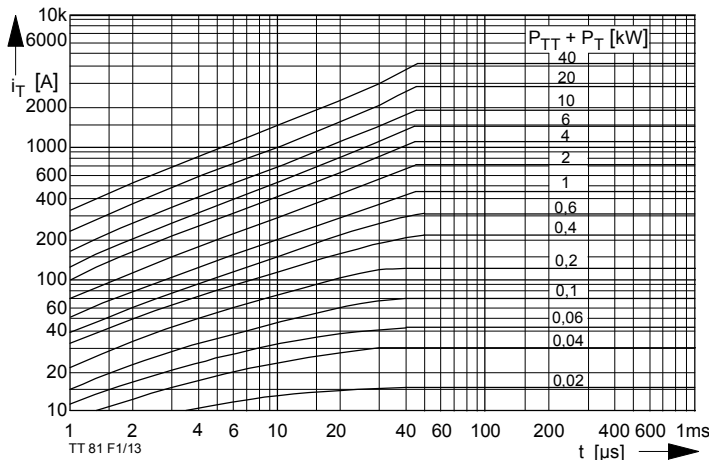


Bild / Fig. 13

Diagramm zur Ermittlung der Summe aus Einschalt- und Durchlaßverlustleistung ($P_{TT} + P_T$) je Zweig.
Diagram for the determination of the sum of the turn-on and on-state power loss per arm ($P_{TT} + P_T$).

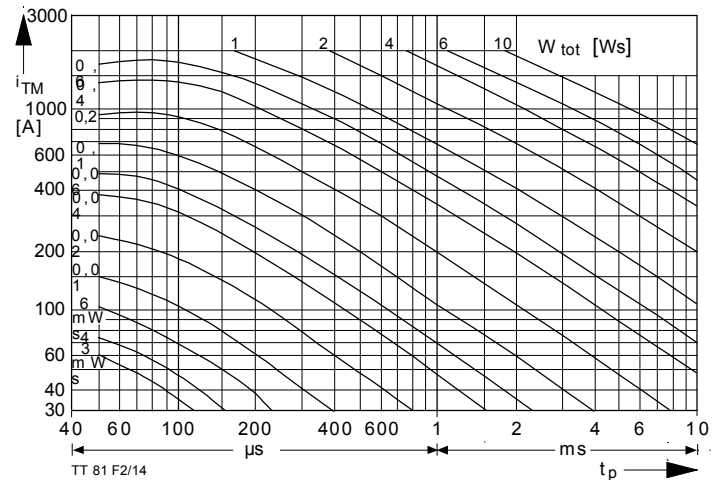


Bild / Fig. 14

Diagramm zur Ermittlung der Gesamtenergie W_{tot} für einen sinusförmigen Durchlaßstrompuls für einen Zweig.
Diagram for the determination of the total energy W_{tot} for a sinusoidal on-state current pulse for one arm.

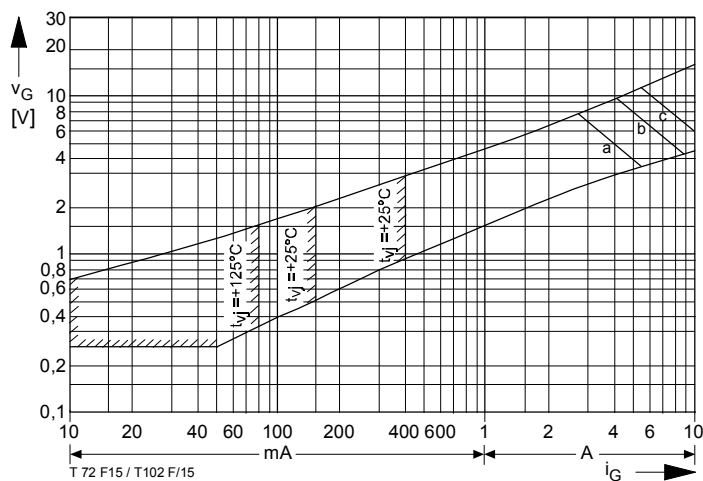
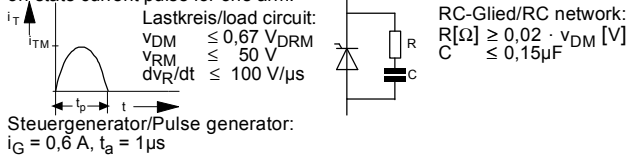


Bild / Fig. 15

Zündbereich und Spitzesteuerleistung bei $v_D = 6\text{V}$.
Gate characteristic and peak power dissipation at $v_D = 6\text{V}$.
Parameter:

Steuerimpulsdauer/Pulse duration t_g [ms]	10	1	0,5
Höchstzulässige Spitzesteuerleistung/ Maximum allowable peak gate power [W]	20	40	60

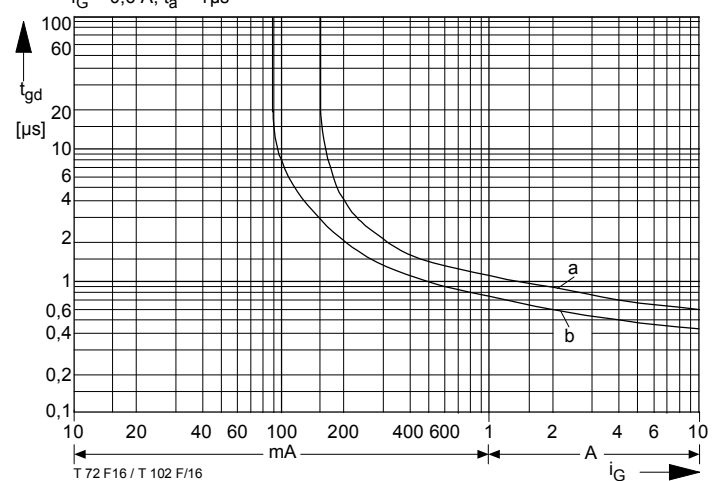


Bild / Fig. 16

Zündverzug/Gate controlled delay time t_{gd} .
DIN 41787, $t_a = 1 \mu\text{s}$, $t_{vj} = 25^\circ\text{C}$.
a - außerster Verlauf/limiting characteristic
b - typischer Verlauf/typical characteristic

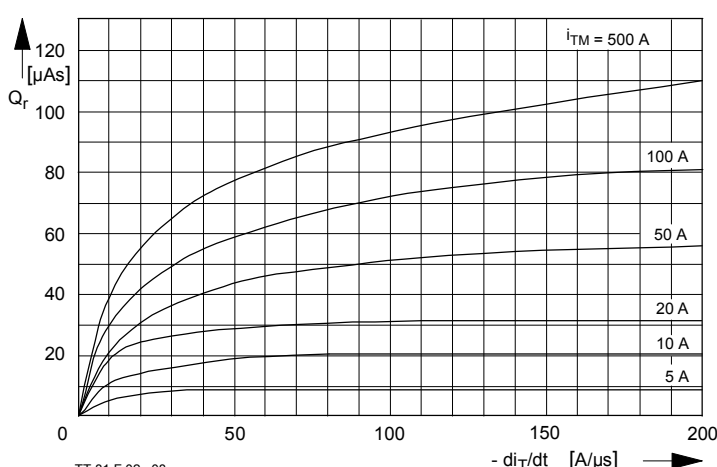


Bild / Fig. 17

Sperrverzögerungsladung $Q_r = f(di/dt)$
 $t_{vj} = t_{vj \max}$, $v_R = 0,5 \text{ V}_{RRM}$, $v_{RM} = 0,8 \text{ V}_{RRM}$
Parameter: Durchlaßstrom i_{TM} / Recovert charge $Q_r = f(di/dt)$
 $t_{vj} = t_{vj \max}$, $v_R = 0,5 \text{ V}_{RRM}$, $v_{RM} = 0,8 \text{ V}_{RRM}$
Parameter: on-state current i_{TM}

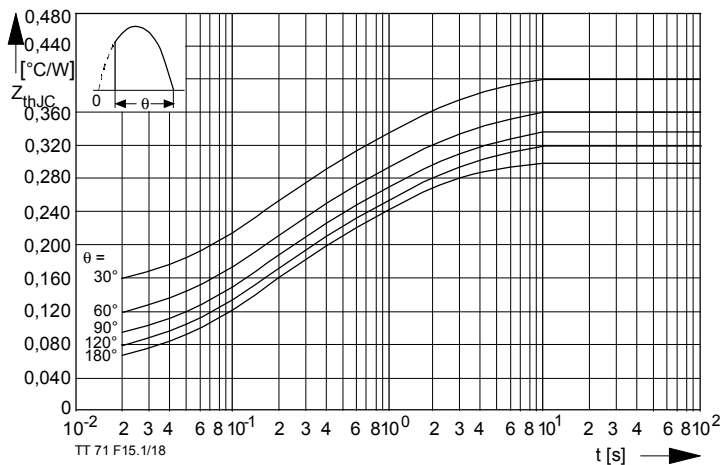


Bild / Fig. 18

Transienter innerer Wärmewiderstand je Zweig $Z_{(th)JC}$.
Transient thermal impedance per arm $Z_{(th)JC}$. Junction to case.

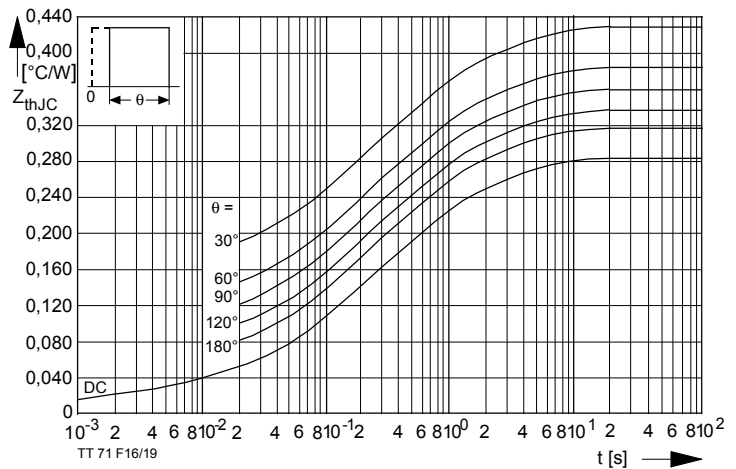


Bild / Fig. 19

Transienter innerer Wärmewiderstand je Zweig $Z_{(th)JC}$.
Transient thermal impedance, junction zo case, per arm $Z_{(th)JC}$.

Analytische Elemente des transienten Wärmewiderstandes Z_{thJC} pro Zweig für DC
Analytical elements of transient thermal impedance Z_{thJC} per arm for DC

Pos. n	1	2	3	4	5	6	7
R_{thn} [°C/W]	0,002	0,028	0,076	0,095	0,083		
τ_n [s]	0,00031	0,00314	0,085	0,399	2,68		

Analytische Funktion / Analytical function:

$$Z_{thJC} = \sum_{n=1}^{n_{max}} R_{thn} (1 - e^{-\frac{t}{\tau_n}})$$